

## \**Brenneria nigrifluens* شناسایی جدایه‌های

### IDENTIFICATION OF *Brenneria nigrifluens* ISOLATES

نرگس فلاحی چرخابی<sup>۱</sup>، مسعود شمس‌بخش<sup>۲\*</sup>، حشمت‌اله رحیمیان<sup>۲</sup> و پژمان خدایگان<sup>۳</sup>

(تاریخ دریافت: ۱۳۸۹/۷/۲۶؛ تاریخ پذیرش: ۱۳۸۹/۹/۲۶)

#### چکیده

زخم پوستی گردی ایرانی (*Juglans regia* L.) با عامل *Brenneria nigrifluens* سبب ایجاد شانکر در پوست تن و شاخه‌های قطور (مسن) می‌شود. تشخیص دقیق و سریع بیماری، عامل مهمی در کنترل و کاهش خسارت بیماری است. در بررسی حاضر ۵۹ جدایه باکتری از ۱۱۴ نمونه دارای علامت زخم جمع آوری شده از استان‌های مازندران، گلستان، کرمان و کرمانشاه جداسازی شد. به علاوه ۱۰ جدایه از استان فارس، یک جدایه از استان کهگیلویه و بویراحمد و یک جدایه از استان کردستان برای مقایسه با جدایه‌های جمع آوری شده به کار برده شد. جدایه‌ها براساس ویژگی‌های فیزیولوژیکی و بیوشیمیایی به دو گروه *B. nigrifluens* و گونه‌های نزدیک به آن تقسیم شدند. بررسی الگوی پرتوثینی جدایه‌ها نیز این تقسیم بندی را تأیید نمود. با استفاده از آغازگرهای اختصاصی قطعه دی‌ان‌ا (DNA) مورد انتظار به طول حدود ۲۵۵ جفت باز در ۲۴ جدایه *B. nigrifluens* تکثیر شد که PCR<sup>+</sup> نامیده شدند. پس از گذشت هشت هفته از زمان مایهزنی نهالهای گردی با جدایه‌های PCR<sup>+</sup> لکه‌های آبسوتنه و زخم پیش روندهای روی سرشاخه‌ها ایجاد شد، در حالی که مایهزنی با جدایه‌های PCR<sup>-</sup> توانست علائم بیماری را روی سرشاخه‌های مایهزنی شده ایجاد کند. به منظور تعیین دقیق گونه جدایه‌ها و بررسی کارایی و فرآگیری آغازگرهای اختصاصی استفاده شده، ناحیه 16S rDNA یک جدایه PCR<sup>+</sup> و سه جدایه PCR<sup>-</sup> تکثیر و تعیین ترادف شد، نتایج نشان داد که تنها ترادف 16S rDNA جدایه PCR<sup>+</sup> شباهت بالایی با گونه *B. nigrifluens* داشت. بر پایه نتایج تحقیق حاضر آزمون‌های متداول فنوتیپی به همراه انجام آزمون بیماری‌زایی و یا آزمون‌های تکمیلی مولکولی مانند واکنش زنجیره‌ای پلیمراز با استفاده از آغازگرهای اختصاصی برای تشخیص قطعی *B. nigrifluens* ضروری است.

واژه‌های کلیدی: زخم پوستی گردی، آغازگر اختصاصی، 16S rDNA

\*: بخشی از پایان‌نامه کارشناسی ارشد نگارنده اول، ارائه شده به دانشکده کشاورزی، دانشگاه تربیت مدرس، تهران

\*\*: مسئول مکاتبات، پست الکترونیکی: shamsbakhsh@modares.ac.ir

۱. به ترتیب دانشجوی سابق کارشناسی ارشد، دانشیار بیماری‌شناسی گیاهی، دانشکده کشاورزی، دانشگاه تربیت مدرس، تهران

۲. استاد گیاه‌پژوهی، دانشکده علوم زراعی، دانشگاه علوم کشاورزی و منابع طبیعی ساری

۳. استادیار بیماری‌شناسی گیاهی، دانشکده کشاورزی، دانشگاه ولی عصر رفسنجان

## مقدمه

شناسایی *B. nigrifluens* بر پایه جداسازی مستقیم از بافت آلوده، آزمون‌های بیوشیمیایی، فیزیولوژیکی و آزمون بیماری‌زایی استوار است. از آن جایی که تعداد زیادی از گونه‌های باکتریایی از زخم‌های گردو جدا می‌شوند (Moretti *et al.* 2007)، به علاوه از آزمون‌های بیوشیمیایی به تنها یک آزمون یک آزمون افتراقی استفاده نمود (Moretti *et al.* 2007) و به علت اهمیت ردیابی سریع بیمارگر برای رعایت بهداشت زراعی و پایش شیوع بیماری، استفاده از روش‌های سریع و مطمئن در راستای افزایش صحت و دقت تشخیص بیمارگر حائز اهمیت است (Loreti *et al.* 2008).

در مطالعه حاضر ویژگی‌های فنوتیپی باکتری‌های جدا شده از زخم پوستی درختان گردو از مناطق مختلف کشور تعیین و جدایه‌ها در دو گروه عمده قرار گرفتند. بررسی الگوی پروتئینی این جدایه‌ها نیز همین نتیجه را تأیید کرد. به منظور تشخیص دقیق گونه *B. nigrifluens* آزمون بیماری‌زایی و واکنش زنجیره‌ای پلیمراز با استفاده از آغازگرهای اختصاصی (Loreti *et al.* 2008) انجام شد. به منظور بررسی کارآمدی ویژگی‌های فنوتیپی، الگوی پروتئینی، واکنش زنجیره‌ای پلیمراز با استفاده از آغازگرهای اختصاصی و آزمون بیماری‌زایی در شناسایی گونه‌ی *B. nigrifluens* توالی 16S rDNA تعدادی از جدایه‌ها به عنوان نماینده تکثیر و تعیین ترادف شد.

## روش بررسی

### نمونه‌برداری

در ماه‌های اردیبهشت و خرداد سال ۱۳۸۷ حدود ۱۱۴ نمونه‌ی گیاهی مشکوک و دارای علائم زخم از تنه و شاخه‌های درختان گردو از استان‌های گلستان شامل مناطق گرگان، دلند، مینودشت، بندرگز و کردکوی، مازندران

بیماری زخم (شانکر) پوستی یا سطحی گردو ناشی از *Brenneria nigrifluens* (*Erwinia nigrifluens*) (Wilson) Hauben *et al.* 1998 یکی از شایع‌ترین بیماری‌های گردو محسوب می‌شود. عامل بیماری برای اولین بار توسط ویلسون و همکاران (Wilson *et al.* 1957) گونه‌ای از جنس *Erwinia* به نام *Erwinia nigrifluens* شناسایی و نام‌گذاری گردید. سپس باکتری عامل توسط هابن و همکاران (Hauben *et al.* 1998) به *B. nigrifluens* تغییر نام یافت این بیماری در باغ‌های تولید الوار و میوه با تضعیف درختان گردو سبب ایجاد خسارت می‌شود. علائم در مراحل اولیه بیماری از خارج قابل مشاهده نبوده و پوست حالت متورم و برآمده پیدا می‌کند. در ابتدا نواحی بافت مرده به صورت لکه‌های گره کوچکی ظاهر شده که بعداً توسعه یافته و زخم‌های گسترده بدون شکل مشخصی را تشکیل می‌دهند. علائم بیماری در اکثر موارد محدود به ناحیه پوست است Scorticini 1999; Saccardi *et al.* 1998; Loreti (et al. 2004; Mazzaglia *et al.* 2006 ایالت کالیفرنیا (Wilson *et al.* 1957) از ایران (Lopez *et al.* 1994)، اسپانیا (Rahimian 1989) ایتالیا (Morone *et al.* 1998; Saccardi *et al.* 1998; Scorticini 1999; Carella *et al.* 2003) و فرانسه (Menard *et al.* 2004) گزارش شده است. در ایران اولین بار از ساری و نکا (Rahimian 1989) و پس از آن Harighi & Rahimian (Yousefi 1997)، فارس و کهگیلویه و بویراحمد (Baradaran & Kopaei *et al.* 2007)، کرمان (Harighi 2006)، کردستان (Ghasemi 2004) و گلستان (Jamalzade *et al.* 2009) گزارش شد.

تهیه و در دمای ۴°C نگهداری شد (Lelliot & Stead 1987). همچنین سوسپانسیون کدری از باکتری در ۶۰۰ میکرولیتر آب مقطر سترون تهیه و به آن ۴۰۰ میکرولیتر گلیسرول اضافه شده و پس از مخلوط کردن در فریزر ۷۰°C- نگهداری شد.

#### بررسی ویژگی‌های فنوتیپی

ویژگی‌های مورفولوژیکی، فیزیولوژیکی و بیوشیمیایی تمامی جدایه‌ها بررسی گردید. آزمون گرم با حلالیت در پتانس (KOH) سه درصد به روش ساسلو و همکاران (Suslow *et al.* 1982) و آزمون رشد هوایی و بیهوایی به روش هیروولا یافسن (Hugh & Leifson 1953) اکسیداز با قرار دادن گستره‌ای از باکتری روی کاغذ صافی آغشته به محلول یک درصد تترامتیل پارافنیل دی‌آمین دی‌هیدروکلراید صورت گرفت (Kovacs 1956). آزمون لهیلدگی سیب زمینی به روش شاد و همکاران (Schaad *et al.* 2001) و آزمون فوق حساسیت (HR) در توتون و شمعدانی به روش کلمنت و همکاران (Klement *et al.* 1964) انجام شد. تولید رنگدانه فلورسنت روی محیط King's و رنگدانه صورتی روی محیط YDC بررسی شد. آزمون‌های آرژنین دی‌هیدرولاز به روش تورنالی (Thornely 1960) و هیدرولیز نشاسته به روش کوان (Cowan 1974) انجام شد. آزمون‌های اوره‌آز، تولید H<sub>2</sub>S از سیستئین، تولید اندول، تولید لوان، رشد روی محیط کشت حاوی چهار درصد نمک طعام (NaCl) و هیدرولیز اسکولین انجام گرفت. در آزمون توانایی استفاده از اسیدهای آلی و تولید اسید از قندها از محیط پایه آیر (Ayer) و غلظت ۰/۳ تا ۰/۰ درصد قند یا اسید آلی مورد نظر استفاده

شامل مناطق ساری، بادله، نکا و رستم کلا، کرمان (بافت) و کرمانشاه (صحنه) جمع‌آوری و به صورت جداگانه درون کیسه‌های پلاستیکی به آزمایشگاه منتقل شد. یازده جدایه جمع‌آوری شده از استان‌های فارس و کهگیلویه و بویراحمد (Yousefi Kopaei *et al.* 2007) و یک جدایه از استان کردستان (Harighi 2006) نیز برای مقایسه با جدایه‌های جمع‌آوری شده از سایر مناطق کشور دریافت شد.

#### جداسازی عامل بیماری

نمونه‌ها ابتدا با آب معمولی و سپس با آب مقطر شسته شدند. برای جداسازی باکتری قطعاتی از بافت حد فاصل ناحیه سالم و بیمار در داخل یک تشک سترون حاوی آب مقطر سترون خرد شده و پس از ۳۰ دقیقه نگهداری در شرایط آزمایشگاه یک لوب از سوسپانسیون حاصل بر روی محیط کشت اثوزین متیلن بلو آگار (EMB-Agar) حاوی ۱۰ میلی‌لیتر گلیسرول و پنج گرم عصاره مخمر مخطط گردید. پس از دو تا سه روز نگهداری در دمای ۲۸°C تک پرگنه‌های سبز متالیک جدا شد. این جدایه‌ها به منظور استفاده در بررسی‌های بعدی روی محیط آگار غذایی حاوی ساکاروز (NAS) ۲۰ گرم آگار غذایی و پنج گرم ساکاروز در لیتر) کشت داده شدند.

#### خالص‌سازی و نگهداری جدایه‌ها

برای خالص‌سازی، هر جدایه دوباره روی محیط آگار غذایی مخطط شد و پرگنه‌های منفرد انتخاب و دوباره روی همین محیط مخطط شدند. به منظور نگهداری جدایه‌ها، سوسپانسیون کدری از آنها در آب مقطر سترون

آگار غذایی در آب مقطر سترون تهیه شد و کدری آنها به ۰/۰۱ واحد در ۶۰۰ نانومتر (معادل  $10^5 \times 5$  سلول زنده در میلی لیتر) تنظیم شد. با استفاده از سرنگ سترون ۵۰ میکرولیتر از سوسپانسیون باکتری در سرشاخه‌های جوان تزریق گردید. علاوه بر آن مقداری از پرگنه باکتری نیز به وسیله خلال دندان برداشته و در بافت همان سرشاخه به صورت مستقیم مایه‌زنی گردید. محل زخم‌های حاصل از خلال دندان به وسیله نوار پارافیلم پوشانده شد (Loreti *et al.* 2004). به منظور حفظ رطوبت اولیه، گلدان‌ها به مدت ۷۲ ساعت در کیسه نایلونی قرار داده شده و پس از برداشتن کیسه در شرایط گلخانه ( $C = 29^\circ - 20^\circ$ ) نگهداری شدند. چهار جدایه باکتری برای مایه‌زنی به کار رفت و هر جدایه دست‌کم به دو نهال مایه زنی شد. در نهال‌های شاهد از آب مقطر سترون به عنوان مایه استفاده گردید. نهال‌های مایه‌زنی شده تا حدود دو ماه به صورت روزانه مورد بازبینی قرار گرفتند.

#### واکنش زنجیره‌ای پلیمراز (PCR)

به منظور استخراج DNA، هر جدایه روی محیط آگار غذایی حاوی عصاره مخمر کشت شده و پس از ۲۴ تا ۴۸ ساعت، سوسپانسیون نیمه کدری از باکتری در یک میلی لیتر آب مقطر سترون تهیه شد و ۱۰۰ میکرولیتر پتاس (KOH) پنج درصد به آن اضافه گردید. سپس به منظور لیز شدن بهتر سلول‌های باکتری میکروتیوب‌های حاوی سوسپانسیون به مدت پنج دقیقه در آب جوش قرار گرفتند. پس از سانتریفیوژ سوسپانسیون مذکور به مدت پنج دقیقه در ۱۳۰۰۰ دور در دقیقه، از محلول رونشین در واکنش PCR استفاده شد. از آغازگرهای اختصاصی F1 (-'۵ CCTGCCATGTTGCCAGATCGCTAT-3')

شد (Schaad *et al.* 2001).

#### مقایسه الگوی پروتئین سلولی

جدایه‌های باکتری روی محیط آگار غذایی کشت داده شدند و پس از ۲۴ ساعت، سوسپانسیونی از آنها در آب مقطر تهیه و جذب نوری آنها در طول موج ۶۰۰ نانومتر برابر با یک تنظیم شد. سلول‌ها با اضافه کردن یک دهم حجم نمونه، سدیم دودسیل سولفات (SDS) ۱۰ درصد و پنج دقیقه نگهداری در حمام آب جوش پاره شده و نمونه به مدت ۱۰ دقیقه در ۱۳۰۰۰ دور در دقیقه سانتریفیوژ شد. از رونشین حاصل به عنوان پروتئین‌های سلولی برای الکتروفورز استفاده شد. الکتروفورز در سیستم ناپیوسته املی (Laemmli 1970) با ژل متراکم کننده پنج درصد و ژل متمایز کننده ۱۰ درصد و در شدت جریان ثابت ۱۸ میلی آمپر انجام شد و با رسیدن رنگ برم فنل بلو به انتهای ژل پایان پذیرفت. ژل در محلول رنگ‌آمیزی حاوی ۰/۱۲ درصد کوماسی بریلیانت بلو، ۵۰ درصد متانول و ۱۰ درصد اسید استیک به مدت یک شب روی شیکر قرار داده شد. ژل در محلول ۵۰ درصد متانول و ۱۰ درصد اسید استیک رنگ‌بری و از آن عکس گرفته شد.

#### آزمون بیماری‌زایی

بذرهای گردی ایرانی در محلول پنج درصد هیپوکلریت سدیم به مدت ۱۵ دقیقه ضدغ Fonii سطحی شده و دو بار با آب مقطر سترون شسته شدند. بذرها در آب و در دمای اتاق به مدت ۷ تا ۱۰ روز نگهداری شده و با خروج ریشه اولیه در گلدان‌های سه لیتری خاک سبک سترون کاشته شدند. مایه‌زنی روی نهال‌های پنج تا شش ماهه انجام شد. سوسپانسیونی از کشت ۴۸ ساعته باکتری‌های روی محیط

آغازگرهای پیشین، دو آغازگر (5'-AGGCAGCAGTGGGAAAT-3') Bn16SF و 5'-TACTCGTAAGGCCATGATGA-) Bn16SR با 3' بر اساس ترادف‌های به دست آمده از ترادف‌یابی با آغازگرهای 16F27 و 16R1525 و با استفاده از برنامه oligo طراحی و توسط شرکت سیناژن سنتز شد و برای تعیین ترادف بخش میانی قطعه 16S rDNA به کار برده شد.

قطعات ۱۵۰۰ نوکلئوتیدی تکثیر شده با استفاده از کیت استخراج دی‌انا (Fermentas, Lithuania) و بر اساس دستورالعمل شرکت سازنده از ژل آگاروز استخراج و برای تعیین ترادف به شرکت Macrogen کشور کره جنوبی ارسال گردید. ترادف‌های همولوگ ناحیه 16S rDNA مربوط به گونه‌های خانواده National Entrobacteriaceae (Information Center for Biotechnology) دریافت و با ترادف 16S rDNA جدایه‌های F7, G5, KE4 و M5 با استفاده از نرم افزار GenDoc همدیف شد. درخت فیلوژنتیکی نیز با استفاده از نرم افزار TreeCon با الگوریتم اتصال مجاور (Neighbor-joining) رسم شد و آزمون صحت شاخه‌ها (Bootstrapping) با استفاده از نرم افزار 4 Mega با ۱۰۰۰ تکرار بررسی شد.

## نتایج و بحث

### نمونه‌برداری و جداسازی

جداسازی پرگنهای سبز متالیک روی محیط EMB-Agar انجام شد و برای بررسی‌های بعدی روی محیط آگار غذایی حاوی سوکروز کشت شدند. بر اساس نتایج آزمون‌های مقدماتی جدایه‌های گرم و اکسیداز منفی،

و (5'-ACCTGAGTAGCAGTTGACTATT-3') C3 برای شناسایی *B. nigrifluens* استفاده شد (Loreti et al. 2008).

واکنش زنجیره‌ای پلیمراز در حجم ۲۰ میکرولیتر و غلظت نهایی ۱۵ پیکومول از هر آغازگر، ۲ میلی‌مolar کلرید منیزیم ( $MgCl_2$ )، ۲ میکرولیتر بافر واکنش ۰/۱۶ X ۵۰۰ mM KCl, Tris-HCl (اسیدیته ۸/۴)، ۰/۱۶ میلی‌مolar دزوکسی نوکلئوتید تری‌فسفات (dNTPs)، دو میکرولیتر از دی‌انا ژنومی و ۱/۲۵ واحد آنزیم پلی‌مراز (Taq Polymerase) (سیناژن، ایران) و در دستگاه Eppendorf gradient, (Germany) انجام شد.

واسرشه‌سازی اولیه در دمای ۹۶ درجه سلسیوس به مدت سه دقیقه صورت گرفت. سپس ۳۰ چرخه شامل واسرشه‌سازی دی‌انا ژنومی در دمای ۹۴ درجه سلسیوس، به مدت یک دقیقه؛ اتصال آغازگرها به رشته الگو در دمای ۵۶ درجه سلسیوس، به مدت یک دقیقه؛ گسترش رشته جدید در دمای ۷۲ درجه سلسیوس، به مدت ۴۵ ثانیه انجام شده و در پایان گسترش نهایی در دمای ۷۲ درجه سلسیوس به مدت پنج دقیقه انجام شد.

تعیین ترادف ناحیه 16S rDNA و آنالیز فیلوژنیکی به منظور بررسی کارایی و فرآگیری آغازگرهای معرفی شده توسط لورتی و همکاران (Loreti et al. 2008) با استفاده از آغازگر ۱۶F27 (5'-AGAGTTGATCMTGGCTCA-3' TTCTGCAGTCTAGAAGGAGGTGWTCCA) ترادف 16S rDNA (GC-3') یک جدایه از جدایه‌های Poza-Carrion et al. 2008; Hauben et al. 1997 و سه جدایه PCR<sup>-</sup> تکثیر شد (PCR<sup>+</sup>). علاوه بر

سلوبیوز، فرمات، سیترات، تارتارات و سالیسین متغیر عمل نمودند. جدایه‌های PCR<sup>+</sup> در بسیاری از ویژگی‌ها یکسان بوده و کمتر از ۲۵ درصد آنها در تولید اسید و باز از چند منبع کربنی تفاوت داشتند (جدول ۲). نتایج این آزمون‌ها به جز آزمون‌های تولید اسید از رافینوز و سلوبیوز با نتایج اعلام شده توسط حریقی و رحیمیان (Harighi & Rahimian 1997)، یوسفی کوپایی و همکاران (Rahimian et al. 2009) و جمالزاده و همکاران (Jamalzade et al. 2009)، برادران و قاسمی (2004) و حریقی (Harighi 2006) مطابقت دارد. توانایی مصرف برخی از کربوهیدرات‌ها توسط برخی باکتری‌های بیمارگر گیاهی در اثر کشت‌های مکرر در محیط‌های غذایی تغییر می‌نماید (Scortichini & Rossi 1995).

عمله جدایه‌های PCR<sup>+</sup> اورهآز تولید کردند در حالی که بقیه جدایه‌ها این قابلیت را نداشتند. جدایه‌های بررسی شده در مطالعه مورتی و همکاران (Moretti et al. 2007) نیز در این ویژگی واکنش متغیر نشان دادند ولی تمامی جدایه‌های بررسی شده در مطالعه یوسفی کوپایی (2006) و حریقی (2004) اورهآز مثبت بودند. اختلاف در واکنش اورهآز جدایه‌های بررسی شده در پژوهش حاضر در مقایسه با جدایه‌های بررسی شده در دو مطالعه اخیر می‌تواند ناشی از گستره‌تر بودن مناطق نمونه‌برداری باشد.

در جدایه‌های PCR<sup>+</sup> نتایج آزمون‌های تولید لوان، هیدرولیز نشاسته، استفاده از سوربیوز، فرمات، مالتوز، رافینوز، تارتارات و سیترات منفی بود، در حالی در جدایه‌های PCR<sup>-</sup> نتایج این آزمون‌ها مثبت بود. به نظر می‌رسد قابلیت هیدرولیز نشاسته و تولید لوان در شناسایی گونه *B. nigrifluens* مفید باشند.

دارای توانایی رشد بی‌هوایی، عدم توانایی ایجاد واکنش فوق حساسیت در برگ توتون و لهانیدن سیب زمینی و عدم تولید رنگ فلورسنت روی محیط B و King's B و رنگدانه صورتی روی محیط C، YDC، ۷۱ جدایه برای بررسی‌های بیشتر انتخاب شدند. اسامی، محل و زمان جمع‌آوری جدایه‌ها در جدول ۱ آمده است.

### ویژگی‌های فنوتیپی و بیوشیمیایی

هیچ کدام از جدایه‌ها توانایی تولید اندول، هیدرولیز ژلاتین و تولید آرژنین دی‌هیدرولاز را نداشتند. نتیجه آزمون‌های اورهآز، تولید لوان و هیدرولیز نشاسته در جدایه‌های مختلف، متفاوت بود. واکنش‌های تولید H<sub>2</sub>S از سیستئن، رشد روی محیط کشت حاوی چهار درصد نمک طعام (NaCl) و هیدرولیز اسکولین در کلیه جدایه‌ها مثبت بود (جدول ۲). این ویژگی‌ها با خصوصیات گونه (*B. nigrifluens*) مطابقت داشت (Schaad et al. 2001). هیچ کدام از جدایه‌ها روی محیط YDC رنگدانه صورتی تولید نکردند، از این ویژگی می‌توان برای متمایز کردن این گونه از گونه *B. rubrifaciens* استفاده نمود (Wilson et al. 1967; Schaad & Wilson 1971). نتایج آزمون لهیدگی سیب‌زمینی با بررسی‌های انجام شده تو سط برادران و قاسمی (Baradaran & Ghasemi 2004) و ساکاردی و همکاران (Saccardi et al. 1998) تطابق داشت ولی با نتایج یوسفی کوپایی و همکاران (Yousefi Kopaei et al. 2007) که ۱۴/۲ درصد از جدایه‌ها را قادر به ایجاد لهیدگی ضعیف اعلام نموده‌اند، تفاوت داشت.

هیچ کدام از جدایه‌ها قادر به استفاده از مالونات نبودند. همه جدایه‌ها از مانیتول استفاده کردند ولی در استفاده از سوربیوز، رامنوز، رافینوز، آرابینوز، مالتوز، لاکتوز،

## جدول ۱. نام، محل و تاریخ جمع‌آوری باکتری‌های بورسی شده در این مطالعه

Table 1. Name, source and year of isolation of bacteria utilized in this study

نام جدایه Name Isolates	محل جمع‌آوری Source	تاریخ جمع‌آوری Date Isolated	نام جدایه Name Isolates	محل جمع‌آوری Source	تاریخ جمع‌آوری Date Isolated	نام جدایه Name Isolates
کرمان- بافت Kerman-Baft	گلستان- دلندر Golestan-Daland	اردیبهشت ۸۷ May 2008	G15	کرمان- بافت Kerman-Baft	اردیبهشت ۸۷ May 2008	K1*
کرمان- بافت Kerman-Baft	گلستان- دلندر Golestan-Daland	اردیبهشت ۸۷ May 2008	G16*	کرمان- بافت Kerman-Baft	اردیبهشت ۸۷ May 2008	K2*
کرمان- بافت Kerman-Baft	گلستان- کردکوی Golestan- Kordkuy	اردیبهشت ۸۷ May 2008	G17	کرمان- بافت Kerman-Baft	اردیبهشت ۸۷ May 2008	K3*
کرمان- بافت Kerman-Baft	گلستان- کردکوی Golestan- Kordkuy	اردیبهشت ۸۷ May 2008	G18	کرمان- بافت Kerman-Baft	اردیبهشت ۸۷ May 2008	K4
کرمان- بافت Kerman-Baft	گلستان- کردکوی Golestan- Kordkuy	اردیبهشت ۸۷ May 2008	G19	کرمان- بافت Kerman-Baft	اردیبهشت ۸۷ May 2008	K5
کرمان- بافت Kerman-Baft	کرمانشاه- صحنه Kermanshah- Sahneh	خرداد ۸۷ June 2008	KE4	کرمان- بافت Kerman-Baft	خرداد ۸۷ June 2008	K6*
کرمان- بافت Kerman-Baft	کرمانشاه- صحنه Kermanshah- Sahneh	خرداد ۸۷ June 2008	KE5	کرمان- بافت Kerman-Baft	خرداد ۸۷ June 2008	K7
کرمان- بافت Kerman-Baft	کرمانشاه- صحنه Kermanshah- Sahneh	خرداد ۸۷ June 2008	KE7	کرمان- بافت Kerman-Baft	خرداد ۸۷ June 2008	K8
کرمان- بافت Kerman-Baft	کرمانشاه- صحنه Kermanshah- Sahneh	خرداد ۸۷ June 2008	KE8	کرمان- بافت Kerman-Baft	خرداد ۸۷ June 2008	K9*
کرمان- بافت Kerman-Baft	کرمانشاه- صحنه Kermanshah- Sahneh	خرداد ۸۷ June 2008	KE9	کرمان- بافت Kerman-Baft	خرداد ۸۷ June 2008	K10
کرمان- بافت Kerman-Baft	کرمانشاه- صحنه Kermanshah- Sahneh	خرداد ۸۷ June 2008	KE10	کرمان- بافت Kerman-Baft	خرداد ۸۷ June 2008	K11
کرمان- بافت Kerman-Baft	کرمانشاه- صحنه Kermanshah- Sahneh	خرداد ۸۷ June 2008	KE15	کرمان- بافت Kerman-Baft	خرداد ۸۷ June 2008	K12
مازندران- نکا Mazandaran- Neka	کرمانشاه- صحنه Kermanshah- Sahneh	خرداد ۸۷ June 2008	KE17	مازندران- نکا Mazandaran- Neka	خرداد ۸۷ June 2008	M1*
مازندران- بادله Mazandaran- Badele	کرمانشاه- صحنه Kermanshah- Sahneh	خرداد ۸۷ June 2008	KE18	مازندران- بادله Mazandaran- Badele	خرداد ۸۷ June 2008	M2*
مازندران- بادله Mazandaran- Badele	کرمانشاه- صحنه Kermanshah- Sahneh	خرداد ۸۷ June 2008	KE19	مازندران- بادله Mazandaran- Badele	خرداد ۸۷ June 2008	M3
مازندران- بادله Mazandaran- Badele	مازندران- بادله Mazandaran-Badaleh	شهریور ۸۳ September 2004	M16	مازندران- بادله Mazandaran-Badele	شهریور ۸۳ September 2004	M4*
مازندران- بادله Mazandaran- Badele	مازندران- بهشهر Mazandaran- Behshahr	شهریور ۸۳ September 2004	M17	مازندران- بادله Mazandaran-Badele	شهریور ۸۳ September 2004	M5
مازندران- بادله Mazandaran- Badele	مازندران- نوشهر Mazandaran-Noushahr	شهریور ۸۳ September 2004	M18	مازندران- بادله Mazandaran-Badele	شهریور ۸۳ September 2004	M6

September 2004 شهریور ۸۳	Mazandaran- Noshahr مازندران- بابل	M19	May 2008 اردیبهشت ۸۷	Mazandaran- Badele مازندران- رستم کلا
September 2004 شهریور ۸۳	Mazandaran- Babol مازندران- چابکسر	M20	May 2008 اردیبهشت ۸۷	Mazandaran- Rostam Kola مازندران- رستم کلا
September 2004 شهریور ۸۳	Mazandaran- Chaboksar مازندران- تنکابن	M21	May 2008 اردیبهشت ۸۷	Mazandaran- Rostam Kola مازندران- رستم کلا
September 2004 شهریور ۸۳	Mazandaran- Toncabon مازندران- بادله	M22	May 2008 اردیبهشت ۸۷	Mazandaran- Rostam Kola مازندران- رستم کلا
September 2004 شهریور ۸۳	Mazandaran -Badele مازندران- بادله	M23	May 2008 اردیبهشت ۸۷	Mazandaran- Rostam Kola گلستان- گرگان
September 2004 بهار ۸۱	Mazandaran -Badeleh فارس- بوانات	F1*	May 2008 اردیبهشت ۸۷	Golestan- Gorgan گلستان- گرگان
Spring 2002 بهار ۸۱	Fars- Bovanat فارس- بوانات	F2*	May 2008 اردیبهشت ۸۷	Golestan- Gorgan گلستان- مینودشت
Spring 2002 بهار ۸۱	Fars- Bovanat فارس- اقلید	F3*	May 2008 اردیبهشت ۸۷	Golestan- Minoo Dasht گلستان- مینودشت
Spring 2002 بهار ۸۱	Fars- Eqlid فارس- اقلید	F4*	May 2008 اردیبهشت ۸۷	Golestan- Minoo Dasht گلستان- مینودشت
Spring 2002 بهار ۸۱	Fars- Eqlid فارس- اقلید	F5*	May 2008 اردیبهشت ۸۷	Golestan-Daland گلستان- دلنده
Spring 2002 بهار ۸۱	Fars- Eqlid فارس- دشتک	F6*	May 2008 اردیبهشت ۸۷	Golestan-Daland گلستان- دلنده
Spring 2002 بهار ۸۱	Fars- Dashtak فارس- دشتک	F7*	May 2008 اردیبهشت ۸۷	Golestan-Daland گلستان- دلنده
Spring 2002 بهار ۸۱	Fars- Dashtak فارس- حصارک	F8*	May 2008 اردیبهشت ۸۷	Golestan-Daland گلستان- دلنده
Spring 2002 بهار ۸۱	Fars- Hesarak فارس- حصارک	F9*	May 2008 اردیبهشت ۸۷	Golestan-Daland گلستان- دلنده
Spring 2002 بهار ۸۱	Fars- Hesarak فارس- منصورآباد	F10*	May 2008 اردیبهشت ۸۷	Golestan-Daland گلستان- دلنده
Spring 2002 بهار ۸۱	Fars- Mansour-Abad کهگیلویه و بویراحمد- پاسوچ	KO*	May 2008 اردیبهشت ۸۷	Golestan-Daland گلستان- دلنده
Spring 2002 خرداد ۸۴	Kohgiluyeh-va- Boyerahmad- Yassuj کردستان- سنندج	KU	May 2008 اردیبهشت ۸۷	Golestan-Daland گلستان- دلنده
June 2005	Kurdistan-Sanandaj		May 2008	Golestan-Daland

\*: جدایه‌هایی که قطعه ۲۵۵ جفت بازی در آنها تکثیر شد.

جدول ۲. ویژگی‌های فنوتیپی باکتری‌های بررسی شده در این مطالعه

Table 2. Phenotypic characterization of isolation of bacteria utilized in this study

جدایه‌های مشابه (PCR <sup>-</sup> ) <i>B. nigrifluens</i>	<i>B. nigrifluens</i> (PCR <sup>+</sup> )	<i>B. nigrifluens</i> isolates (PCR <sup>+</sup> )	ویژگی Characteristic
-	-	-	گرم
-	-	-	Gram reaction
-	-	-	اکسیداز
-	-	-	oxidase
+	-	+	رشد هوایی/بیهوایی
-	-	-	Oxidative and facultative anaerobic
-	-	-	لهانیدن سیب زمینی
-	-	-	Potato rot
-	-	-	تولید رنگدانه سبز فلورسنت در محیط
-	-	-	King's B fluorescent pigment on King's-B medium
-	-	-	تولید رنگدانه‌ی صورتی روی محیط
-	-	-	YDC Pink pigment on YDC
-	-	-	آزمون بیماری‌زایی
-	-	+	Pathogenicity test
-	-	-	تولید اندول
-	-	-	Indole production
+	-	+	تولید گاز H <sub>2</sub> S از سیستئین
-	-	-	H <sub>2</sub> S from cysteine
-	-	-	آرژنین دهیدرولاز
(درصد ۸۴) + + (84 %)	(درصد ۸۷/۵) + + (87.5 %)	-	Arginine dihydrolase
-	-	-	اوره‌آز
-	-	-	Urea hydrolysis
-	-	-	هیدرولیز نشاسته
-	-	-	Starch hydrolysis
-	-	+	هیدرولیز اسکولین
-	-	-	Esculin hydrolysis
-	-	-	هیدرولیز ژلاتین
-	-	-	Gelatin hydrolysis
-	-	-	رشد در محیط حاوی چهار درصد نمک طعام
-	-	-	Tolerance of NaCl 4%
-	-	-	تولید لوان
-	-	-	Levan formation
-	-	-	تولید اسید یا باز از :
(درصد ۸۹) + + (89 %)	(درصد ۹۶) - - (96 %)	-	Acid or base from:
		-	سوربوز
		-	Sorbose

(درصد ۷۹) +	-	مالتوز Maltose
+ (79 %)		رافینوز Raffinose
(درصد ۸۷) + + (87 %)	-(79 %)	فرمات Formate
(درصد ۷۵) + + (75 %)	-(79 %)	ال- تارتارات L-tartrate
(درصد ۵۷) + + (57 %)	-(96 %)	L- tartarate
(درصد ۷۶) + + (76 %)	-	سیترات Citrate
+ +	+	D-Mannitol
- -	-	مالونات Malonate
(درصد ۸۹) + + (89 %)	+(96 %)	سالیسین Salicin
(درصد ۸۹) + + (89 %)	+(79 %)	ال- رامنوز L-Rhamnose
(درصد ۹۲) + +(92 %)	+(75 %)	ال- آرابینوز L-Arabinose
(درصد ۹۰) - -(90%)	-	دی- سلوبیوز D- cellobiose
(درصد ۶۶) - - (66 %)	-	لاکتوز Lactose

ایرانی لکه‌های آبسخته و زخم پیش روندهای در سرشارخه‌های مایه‌زنی شده دیده شد، ولی علائم مشاهده شده مشابه زخم‌هایی که در طبیعت مشاهده می‌شود، نبود. هیچ علامتی در سرشارخه‌های مایه‌زنی شده با جدایه‌های G4, G5 و M5 (PCR) و شاهد دیده نشد. با مشاهده علائم مذکور مقداری از بافت به وسیله تیغ سترون جدا شده و پس از شستشو با آب مقطر، در چند قطره آب سترون خرد گردید. سوسپانسیون حاصل برای جداسازی مجدد بیمارگر روی محیط آگار غذایی کشت شد. پرگنه‌های حاصل روی محیط کشت EMB مخطوط گردیدند و باکتری بیمارگر مجدداً از بافت مایه‌زنی شده

### الگوی پروتئین‌های سلولی

مقایسه الگوی پروتئین‌های سلولی مشخص نمود که جدایه‌ها الگوی نسبتاً مشابهی داشتند و تنها در نوارهای معده‌دی بین آنها تفاوت وجود داشت. بر این اساس جدایه‌ها به دو گروه تقسیم شدند (نتایج نشان داده نشده است) که با دسته‌بندی جدایه‌ها بر پایه‌ی ویژگی‌های فنوتیپی تطابق داشت.

### آزمون بیماری‌زایی

هشت هفته پس از تزریق سوسپانسیون جدایه (PCR<sup>+</sup>) به سرشارخه‌های جوان نهال‌های گردوى F7

**16S rDNA** آنالیز فیلوزنی بر اساس تراالف ناحیه 16S rDNA یک جدایه PCR<sup>+</sup> (F7) با تراالف ناحیه PCR<sup>-</sup> (M5) KE4، G5 و M5 تکثیر و تعیین سه جدایه شد. به منظور تعیین موقعیت فیلوزنیکی این جدایه‌ها در خانواده Enterobacteriaceae تراالف این جدایه‌ها با تراالف گونه‌های نزدیک موجود در NCBI مقایسه شد. نتایج نشان داد جدایه F7 با جدایه FJ611884 گونه ۹۶/۸ در سطح درصد مشابه داشت در حالی که سه جدایه دیگر در گروه جداگانه‌ای قرار گرفتند. جدایه‌های M5، KE4 و G5 به ترتیب ۹۴/۴، ۹۰/۵ و ۸۸/۸ درصد به جدایه FJ611884 شباهت داشتند که کمتر از میزان شباهتی می‌باشد که بتوان آنها را متعلق به این گونه قلمداد کرد (جدول ۳ و شکل ۳). این یافته نشان می‌دهد که آغازگرهای اختصاصی طراحی شده توسط لورتی و همکاران (۲۰۰۸) کارایی کافی را برای ردیابی جدایه‌های *B. nigrifluens* دارند.

استفاده از آغازگرهای اختصاصی *B. nigrifluens* صحت، سرعت و دقیق تشخیص بیمارگر از دی‌ان‌آ ژنومی، سلول‌های باکتری و بافت‌های آلوود را افزایش می‌دهد. از آن جایی که روش‌های مبتنی بر آزمون‌های بیوشیمیایی و بیماری‌زاوی روى نهال‌های گردو (Schaad *et al.* 2001) بسیار زمانبر بوده و باکتری بیمارگر در موارد زیادی از بافت‌های دارای علائم جدایه شود، به علاوه از آزمون اوره‌آز نیز نمی‌توان در مجموعه آزمون‌های افتراقی استفاده نمود، به نظر می‌رسد آزمون‌های فنوتیپی افتراقی شامل کشت روی محیط EMB-Agar، آزمون‌های گرم، اکسیداز، واکنش هوایی و بیهوایی، تولید لوان و هیدرولیز نشاسته به همراه واکنش زنجیره‌ای پلیمراز با استفاده از آغازگرهای اختصاصی

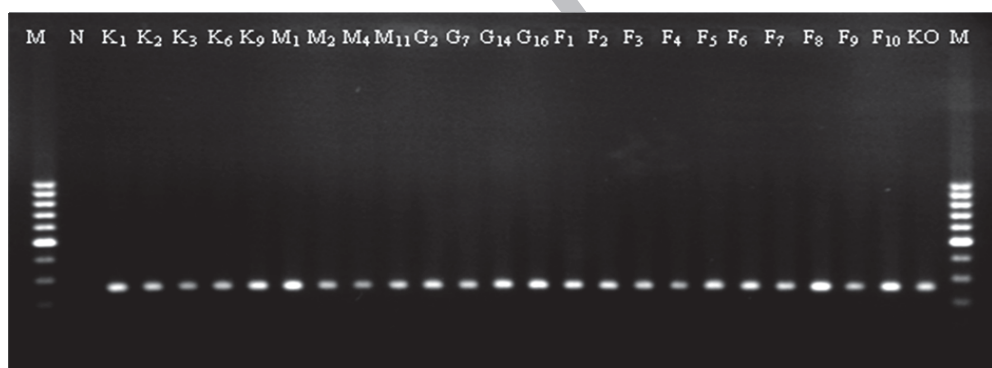
جداسازی شد (شکل ۱). مشکلات ایجاد زخم‌های خارجی اغلب در مایه‌زنی گیاهان چوبی توسط باکتری‌هایی مانند *B. nigrifluens* و *B. rubrifaciens* Gonzalez *et al.* (1957; Wilson *et al.* 2002) مشاهده شده است (Yousefi Kopaei *et al.* 2007). این مشکلات ناشی از وضعیت فیزیولوژیکی بافت‌ها در زمان مایه‌زنی و شرایط محیطی بعد از آن می‌باشد ().

**B. nigrifluens** شناسایی جدایه‌ها با استفاده از آغازگرهای اختصاصی *B. nigrifluens* از آغازگرهای اختصاصی *B. nigrifluens* (C3 و F1) برای تشخیص همه جدایه‌ها استفاده شد. قطعه مورد نظر به طول ۲۵۵ جفت باز در ۲۴ جدایه تکثیر شد که نامیده شدند و به طور قطعی به عنوان گونه شناسایی شدند (شکل ۲ و جدول ۱). به نظر می‌رسد بیشتر باکتری‌های جدا شده از درختان دارای علائم زخم *B. nigrifluens* نبوده و احتمالاً گونه‌های نزدیک به آن می‌باشد که براساس آزمون بیماری‌زاوی و یا استفاده از آغازگرهای اختصاصی به طور قاطع قابل تفکیک‌اند. در پژوهش انجام شده در شمال و نواحی مرکزی ایتالیا از ده باغ ۲۸ نمونه دارای علائم بیماری زخم پوستی، فقط چهار جدایه *B. nigrifluens* جداسازی شده است. به علاوه تعدادی باکتری گرم منفی غیربیماری‌زاوی گردو شامل *Pectobacterium cypripedii* *Pectobacterium carotovorum* subsp. *Pantoea agglomerans* *carotovorum* *Pantoea* spp. *Pectobacterium rhabontici* و *Ralstonia pickettii* چند باکتری ناشناخته دیگر از زخم‌های گردو جدا شده است (Moretti *et al.* 2007).



شکل ۱. علائم ایجاد شده توسط جدایه *Brenneria nigrifluens* F7 (PCR<sup>+</sup>) بر سرشارخه جوان گیاهچه گردی ایرانی هشت هفته پس از مایهزنی.

Fig. 1. Symptoms exhibited eight weeks after inoculation by *Brenneria nigrifluens* F7 isolate (PCR<sup>+</sup>) on Persian walnut seedlings.



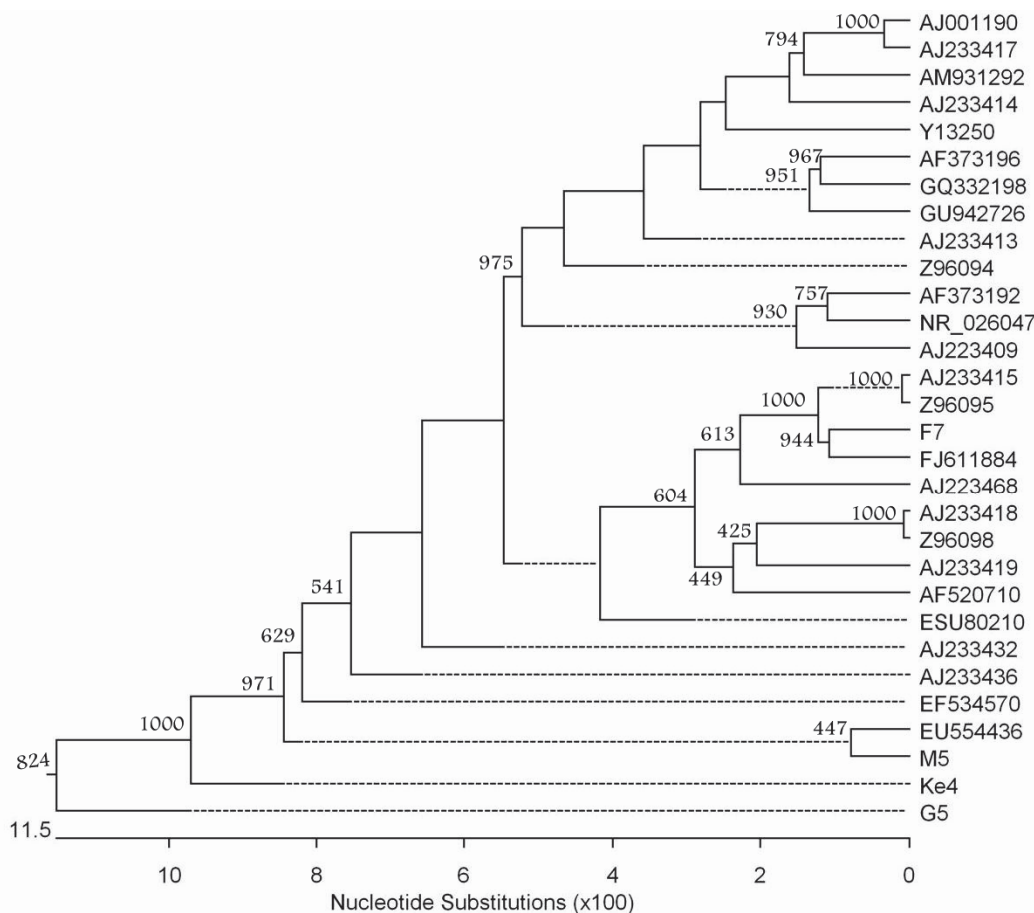
شکل ۲. الگوی باند حاصل از ۲۴ جدایه PCR با استفاده از جفت آغازگر اختصاصی گونه *Brenneria nigrifluens* (F1 و C3) روی ژل یک درصد آکاروز. (N): کنترل منفی، جدایه‌های *B. nigrifluens* جمع‌آوری شده از مناطق مختلف شامل K (کرمان)؛ M (مازندران)؛ G (گلستان)؛ F (فارس)؛ KO (کهگیلویه و بویراحمد)، (M): استاندارد جرم مولکولی (GeneRuler<sup>TM</sup> 100 bp DNA-Ladder plus (Fermentas, Lithuania)).

Fig. 2. Gel electrophoresis analysis of polymerase chain reaction amplified of 24 PCR<sup>+</sup> isolates using specific *Brenneria nigrifluens* primer pairs (F1 and C3) on 1% agarose gel. N: Negative control; K: Kerman; M: Mazandaran; G: Golestan; F: Fars; KO: Kohgiluyeh-va-Boyerahmad; M: molecular marker GeneRuler<sup>TM</sup> 100 bp DNA ladder plus (Fermentas, Lithuania).

			Percent identity																													
1	2	3	4	5	6	7	8	9	10	11	12	13	14	15	16	17	18	19	20	21	22	23	24	25	26	27	28	29	30			
1	93.9	92.6	92.6	95.2	92.7	94.3	94.3	95.6	95.3	93.7	94.4	94.4	94.4	94.4	94.4	94.4	94.4	94.4	94.4	94.4	94.4	94.4	94.4	94.4	94.4	94.4	94.4	94.5	94.5	1		
2	5.0	■■■	91.0	95.0	93.4	91.7	94.4	94.4	94.4	94.4	94.4	94.4	94.4	94.4	94.4	94.4	94.4	94.4	94.4	94.4	94.4	94.4	94.4	94.4	94.4	94.4	94.4	94.4	94.4	94.5	1	
3	6.3	7.2	■■■	91.8	90.9	93.6	92.6	93.6	92.6	92.6	92.6	92.6	92.6	92.6	92.6	92.6	92.6	92.6	92.6	92.6	92.6	92.6	92.6	92.6	92.6	92.6	92.6	92.6	92.6	92.6	92.6	2
4	4.9	3.6	6.3	■■■	93.6	92.8	94.6	94.7	91.8	97.7	90.1	92.9	93.0	92.0	95.1	92.8	92.0	88.7	87.7	92.6	85.5	89.9	92.5	86.5	90.4	94.7	91.9	92.5	92.0	90.0	4	
5	3.3	5.6	6.5	4.9	■■■	93.2	93.6	93.0	94.3	92.7	93.6	93.0	93.4	94.6	94.6	94.6	94.6	94.6	94.6	94.6	94.6	94.6	94.6	94.6	94.6	94.6	94.6	94.6	94.6	94.6	94.6	5
6	6.2	6.2	6.1	5.9	5.0	■■■	92.2	92.6	95.1	92.7	93.5	92.1	93.1	94.9	92.8	92.0	92.2	92.1	92.7	98.3	91.5	96.0	85.3	91.1	89.8	94.8	90.9	92.3	95.6	92.2	6	
7	5.3	3.8	6.7	3.1	5.2	6.2	■■■	95.9	95.1	96.1	94.0	93.0	95.0	95.1	96.4	94.0	94.4	89.9	90.3	94.6	86.8	92.4	94.7	88.1	91.9	94.4	94.1	93.4	94.7	93.8	7	
8	5.5	3.8	6.2	2.9	5.8	5.4	3.8	■■■	93.9	96.1	92.4	92.6	94.8	94.1	95.6	94.3	92.6	90.3	99.6	94.0	87.1	91.2	94.6	87.9	91.6	94.8	94.4	92.3	94.1	92.2	8	
9	4.9	6.0	5.4	5.9	4.8	3.5	4.8	■■■	93.5	95.3	94.1	92.8	93.8	93.9	93.5	92.7	88.7	95.2	99.9	86.3	89.7	92.5	86.7	90.6	94.9	92.1	92.5	99.8	95.1	9		
10	5.1	3.7	6.8	0.7	5.6	6.0	3.2	5.9	■■■	91.8	93.9	93.9	92.8	96.1	93.1	92.2	89.6	99.3	93.4	95.9	91.2	93.7	87.3	91.1	96.0	92.9	94.3	93.6	91.6	10		
11	6.5	6.2	4.7	7.0	5.5	6.4	5.7	7.1	4.7	7.0	■■■	95.2	93.0	94.3	94.0	94.2	94.2	88.7	90.6	95.9	85.6	89.8	90.8	86.6	90.2	92.4	90.3	91.0	95.1	93.7	11	
12	6.0	6.5	4.8	5.3	5.1	4.2	5.5	6.3	3.8	5.7	■■■	93.3	92.4	92.2	91.8	92.7	87.3	91.0	95.4	84.0	88.9	90.4	84.7	88.7	94.9	89.7	93.5	95.5	95.0	12		
13	3.8	5.5	6.1	5.1	4.3	5.4	4.9	5.2	5.5	5.6	■■■	96.4	93.9	95.6	94.0	91.6	90.1	94.4	88.2	90.5	93.0	88.9	92.7	95.5	92.9	92.7	94.5	92.7	13			
14	4.9	5.5	6.1	5.9	5.4	6.3	4.5	6.5	6.3	5.0	■■■	93.4	91.1	95.5	92.4	92.8	98.6	93.8	89.3	90.6	92.8	90.0	94.0	93.4	91.4	91.2	94.1	91.4	14			
15	5.9	4.2	6.0	2.7	6.0	6.5	3.3	3.4	5.7	2.9	5.5	6.3	5.5	5.7	■■■	93.3	93.3	90.9	99.6	94.7	87.4	91.4	94.0	88.3	92.3	94.5	93.6	92.5	94.1	94.0	15	
16	4.5	5.9	5.1	5.0	5.4	6.2	5.1	5.3	6.4	5.5	6.1	6.6	3.4	2.5	5.0	■■■	94.4	94.7	89.1	94.4	91.0	90.9	92.4	91.7	95.9	94.4	91.6	93.5	93.0	91.6	16	
17	5.6	5.0	5.3	5.8	5.6	5.3	4.5	6.4	5.3	6.2	4.7	5.2	3.6	5.6	4.5	■■■	99.1	90.3	94.8	97.8	92.5	91.3	89.3	92.9	93.1	91.0	90.4	93.7	94.0	94.0	17	
18	4.6	6.2	5.6	5.6	6.6	6.9	5.9	5.6	7.0	5.7	6.9	7.5	4.3	3.5	5.2	1.6	■■■	86.6	89.8	89.5	88.8	88.9	89.3	94.7	89.8	87.3	87.1	88.8	88.5	18		
19	6.6	7.9	7.0	8.0	7.0	5.2	7.1	8.0	2.1	8.0	6.9	7.5	3.6	8.5	8.0	6.7	■■■	96.8	95.5	87.3	88.7	86.5	89.0	91.8	87.9	88.1	95.3	90.3	19			
20	4.6	5.9	4.6	5.9	4.6	3.3	5.2	5.9	0.1	6.1	4.2	3.8	5.4	5.8	5.2	6.6	5.8	■■■	88.8	92.7	92.6	90.5	94.4	92.3	92.6	100.0	95.7	20				
21	7.2	8.7	8.2	9.6	10.0	10.0	8.9	9.2	9.9	9.3	10.0	11.3	8.0	6.8	8.6	5.2	7.7	4.8	1.0	8.1	■■■	84.7	87.5	89.6	91.4	88.0	85.6	85.7	21			
22	5.8	2.4	7.0	5.2	6.6	7.0	4.0	4.9	6.3	5.0	6.4	6.7	5.8	5.6	5.6	5.9	4.8	■■■	97.3	86.1	90.4	92.0	89.8	89.0	90.6	90.1	22					
23	5.2	2.4	6.3	3.4	5.7	5.8	3.0	3.2	5.4	3.6	6.3	6.2	4.9	4.7	4.0	4.8	4.7	■■■	88.4	91.4	92.0	90.5	92.1	90.5	92.3	90.5	23					
24	6.2	7.1	6.5	7.7	8.1	8.8	7.0	7.7	8.4	8.4	9.4	6.6	5.4	7.2	3.8	6.2	3.4	■■■	93.1	89.7	85.5	84.8	87.2	86.7	84.7	86.7	24					
25	4.4	5.4	5.6	6.0	6.4	7.1	5.4	6.1	6.8	5.8	6.7	7.8	5.0	3.7	5.4	2.1	4.4	1.5	■■■	7.3	5.1	5.7	4.7	3.3	9.3	89.4	84.5	25				
26	2.2	4.2	5.5	3.8	2.7	4.8	4.6	4.6	4.4	4.0	6.5	4.9	3.9	5.7	4.6	4.8	5.2	■■■	92.6	94.4	95.1	92.2	96	94.4	95.1	92.2	26					
27	5.6	4.8	8.2	5.1	6.0	6.8	4.6	4.6	6.5	5.6	8.1	8.3	6.0	7.4	5.3	7.0	7.1	■■■	86.5	10.9	5.7	4.7	9.6	7.8	5.5	90.2	90.2	27				
28	4.2	4.6	4.0	3.4	4.6	5.2	3.5	4.4	4.5	4.5	4.0	5.3	4.2	4.9	5.4	5.6	6.6	4.0	■■■	93.8	7.3	5.7	3.8	7.0	5.7	2.7	92.7	91.0	28			
29	4.7	5.9	5.3	5.7	4.6	3.3	5.0	5.7	0.1	5.8	4.7	3.7	5.3	6.3	5.1	6.8	1.7	■■■	6.2	5.4	8.0	6.4	4.2	6.5	4.4	9.4	29					
30	6.5	6.2	4.6	7.1	5.6	6.4	5.7	7.1	4.7	7.0	0.1	4.1	6.6	5.1	5.6	6.1	4.7	6.9	■■■	6.4	6.3	8.5	6.7	6.5	8.1	5.4	4.7	30				
31	1	2	3	4	5	6	7	8	9	10	11	12	13	14	15	16	17	18	19	20	21	22	23	24	25	26	27	28	29	30		

جدول ۳. مقایسه مقادیر مشابه تراویف ناجیه S 16S rDNA با سه جدایه (F7، M5 و KE4، G5) PCR<sup>-</sup> و سه جدایه (G3، G4 و G5) PCR<sup>+</sup> می‌باشد. درین اجل اطلاعات NCBI

Table 3. Similarity values determined from pairwise comparisons among 16S rDNA sequences of one PCR<sup>+</sup>, three PCR<sup>-</sup> and Enterobacteriaceae (from NCBI) isolates.



شکل ۳. دندروگرام قرابیت ترادف ناحیه 16S rDNA، یک جدایه<sup>+</sup> PCR (جدایه F7) و سه جدایه PCR (G5، KE4 و M5) با برخی از چدایه‌های خانواده Enterobacteriaceae موجود در بانک اطلاعات NCBI.

**Fig. 3.** Dendrogram depicting the estimated phylogenetic relationships among Enterobacteriaceae isolates, based on pairwise comparisons of nearly complete 16S rDNA sequences. AJ001190 (*Erwinia persicinus*); AJ233417 (*Erwinia rhabontici*); AM931292 (*Erwinia pyrifoliae*); AJ233414 (*Erwinia mallowtivora*); Y13250 (*Erwinia tracheiphil*); Y13250 (*Erwinia tracheiphila*); AF373196 (*Pantoea agglomerans*); GQ332198 (*Pantoea ananatis*); GU942726 (*Pantoea stewartii*); AJ233413 (*Erwinia cypripedii*); Z96094 (*Erwinia cypripedii*); AF373192 (*Pectobacterium carotovorum* subsp. *Odoriferum*); NR\_026047 (*Pectobacterium wasabiae*); AJ223409 (*Pectobacterium cacticidum*); AJ233415 (*Brenneria nigrifluens*); Z96095 (*Brenneria nigrifluens*); F7; FJ611884 (*Brenneria nigrifluens*); AJ223468 (*Brenneria alni*); AJ233418 (*Brenneria rubrifaciens*); Z96098 (*Brenneria rubrifaciens*); AF520710 (*Dickeya paradisiaca*); ESU80210 (*Brenneria salicis*); AJ233432 (*Serratia odorifera*); AJ233436 (*Serratia rubidaea*); EF534570 (*Brenneria quercina*); EU554436 (*Brenneria quercina*); M5; KE4; G5

ترادف‌های پیوسته (Concatenated sequences) نیاز است (Young and Park 2007).

F1 و C3 کوتاه‌ترین راه ممکن برای شناخت بیمارگر بوده و کارایی لازم را برای رعایت بهداشت زراعی در یک منطقه و هم‌چنین پایش شیوع بیماری دارد.

از آنجایی‌که کارایی ترادف 16S rDNA برای Enterobacteriaceae در سطح جنس پایین است (Naum *et al.* 2008) برای تعیین دقیق گونه جدایه‌های PCR<sup>-</sup> (M5 KE4, G5) و آنالیز ترادف‌های نوکلئوتیدی چند ژن خانه‌داری (Multilocus Sequence Analysis, MLSA) و

#### منابع

جهت ملاحظه به صفحات (93-95) متن انگلیسی مراجعه شود.